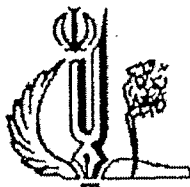




AFWA

۱۳۸۷/۱/۱۰ ۵۰۸۷
۱۳۸۷/۱/۱۰



دانشکده فنی
دانشکده شیمی

گروه شیمی آلی و بیوشیمی

پایاننامه

برای دریافت درجه کارشناسی ارشد در رشته شیمی آلی

عنوان

ستتر نانو پارتیکل‌های فلزات واسطه بر پایه دندانه‌های طبیعی

استاد راهنما

دکتر حسن نمازی

استادان مشاور

دکتر علی اکبر انتظامی

دکتر کاظم دیندار صفا

پژوهشگر

احمد محمد پور فرد

۱۳۸۶

۹۹۸۷۹

تقدیم به پدر و مادر و خانواده عزیزم که در تمامی
مراحل زندگی حامی و مشوق من بوده اند.

با تشکر و قدردانی از:

استاد راهنمای ارجمند جناب آقای دکتر نمازی که
امر سرپرستی این پایاننامه را بر عهده داشته اند و
در طول انجام این پروژه از راهنماییهای ایشان
بهره مند بوده ام.

با تشکر و سپاس از:

اساتید مشاورم جناب آقای دکتر انتظامی و جناب آقای دکتر صفا که از همکاریهای علمی ایشان در انجام این پایاننامه بهره مند شده ام.

استاد محترم جناب آقای دکتر شهریسا که زحمت داوری این پایاننامه را بر عهده داشته اند.

همکارانم در آزمایشگاه ندریم و پلیمرهای طبیعی، آقایان: احمدی، دادخواه، جعفری راد، عباسپور، طوماری و خانمها: دیده بان و فتحی.

فهرست مطالب

فصل اول

۱	۱-۱ مقدمه
۱	۱-۱-۱ دندریمر چیست؟
۱	۱-۱-۲ تاریخچه و پیشینه
۲	۱-۲ ساختار و طبقه بندی دندریمرها
۳	۱-۲-۱ روش‌های سنتز دندریمرها
۴	۱-۲-۲ نانوپارتیکلها
۵	۱-۳-۱ اهمیت نانوپارتیکلها
۶	۱-۳-۲ پایداری نانوپارتیکلها
۶	۱-۳-۳ روش‌های سنتز نانوپارتیکلها
۸	۱-۳-۴ نانوپارتیکلها فلزی کپسوله در دندریمرها
۱۰	۱-۴-۳-۱ سنتز نانوپارتیکلها کپسوله شده در دندریمر (DEMsNs)
۱۱	۱-۴-۳-۲ کاتالیزور اندازه گزین با استفاده از کاتالیست‌های کپسوله در دندریمر
۱۳	۱-۴-۳-۳ خط کشهای مولکولی جهت تعیین موقعیت نانوپارتیکلها
۱۴	۱-۴-۳-۴ نانوپارتیکلها دندریتیکی طلا با پوشش PAMAM-SH
۱۷	۱-۴-۳-۵ کاربرد نانوپارتیکلها دندریتیکی در gene delivery
۱۸	۱-۴-۳-۶ سنتز کنترل شده نانوپارتیکلها با استفاده از تابش مایکروویو
۲۰	۱-۴-۳-۷ تشکیل خودبخودی نانوپارتیکلها با استفاده Sugar balls
۲۱	۱-۴-۳-۸ مکانسیم پیشنهادی تشکیل خودبخودی نانوپارتیکلها
۲۳	۱-۴-۳-۹ الکترودپوزیشن نانوپارتیکلها Pt روی فیلم‌های PAMAM
۲۴	۱-۴-۳-۱۰ کاربرد نانوکامپوزیتها دندریمری در سنسورهای شیمیایی
۲۵	۱-۴-۳-۱۱ نانوپارتیکلها دوفلزی محبوس در دندریمر
۲۷	۱-۴-۳-۱۲ کاربرد نانوپارتیکلها کپسوله دندریمری بعنوان کاتالیست در راکتورهای غشاوی
۲۸	۱-۴-۳-۱۳ هدف از کار پژوهشی

فصل دوم

۲۹	۱-۲ مواد و دستگاه ها
۳۰	۲-۲ تهیه دندانیمپرهای بربایه سیتریک اسید
۳۰	۱-۲-۲ تهیه پلی اتیلن گلیکول دی آسیل هالید (۶۰۰)
۳۰	۲-۲-۲ تهیه G_1 (نسل اول) با استفاده از تیونیل کلراید
۳۱	۳-۲-۲ تهیه G_2 با استفاده از DCC
۳۲	۴-۲-۲ تهیه G_3 با استفاده از DCC
۳۳	۵-۲-۲ تهیه $G_1\text{-OH}$ با استفاده از DCC
۳۴	۶-۲-۲ تهیه $G_2\text{-OH}$ با استفاده از DCC
۳۵	۷-۲-۲ تهیه $G_3\text{-OH}$ با استفاده از DCC
۳۶	۳-۲ تهیه نانوپارتیکلهای فلزی در حضور دندانیمپرهای سنتز شده
۳۶	۲-۳-۲ تهیه نانوپارتیکلهای
۳۶	۱-۱-۳-۲ تهیه نانوپارتیکلهای نقره
۳۷	۲-۱-۳-۲ تهیه نانوپارتیکلهای طلا
۳۹	۲-۳-۲ آماده سازی نمونه جهت بررسی
۳۹	۱-۲-۳-۲ گردید
۴۰	۲-۲-۳-۲ انواع گردید

فصل سوم

۴۱	۱-۳ بررسی سنتز دندانیمپرهای سیتریک اسید
۴۱	۱-۱-۳ سنتز ترکیبات G_1 , G_2 و G_3
۴۴	۲-۱-۳ سنتز ترکیبات $G_1\text{-OH}$, $G_2\text{-OH}$ و $G_3\text{-OH}$
۵۳	۲-۳ بررسی سنتز نانوپارتیکلهای نقره و طلا
۵۳	۱-۲-۳ تهیه نانو پارتیکلهای نقره در حضور G_1
۵۵	۲-۲-۳ تهیه نانو پارتیکلهای نقره در حضور G_2
۵۷	۳-۲-۳ تهیه نانو پارتیکلهای نقره در حضور G_3
۵۸	۴-۲-۳ تهیه نانو پارتیکلهای نقره در حضور $G_1\text{-OH}$
۶۲	۵-۲-۳ تهیه نانو پارتیکلهای نقره در حضور $G_2\text{-OH}$

۶۴	۶-۲-۳ تهیه نانوپارتیکلهاي نقره در حضور $G_3\text{-OH}$
۶۶	۷-۲-۳ تهیه نانوپارتیکلهاي طلا در حضور G_1
۶۸	۸-۲-۳ تهیه نانوپارتیکلهاي طلا در حضور G_2
۷۰	۹-۲-۳ تهیه نانوپارتیکلهاي طلا در حضور G_3
۷۲	۱۰-۲-۳ تهیه نانوپارتیکلهاي طلا در حضور $G_1\text{-OH}$
۷۷	۱۱-۲-۳ تهیه نانوپارتیکلهاي طلا در حضور $G_2\text{-OH}$
۷۹	۱۲-۲-۳ تهیه نانوپارتیکلهاي طلا در حضور $G_3\text{-OH}$
۸۲	۳-۳ تاثير نسلهاي مختلف دندريمرهاي سيتريک اسيد در سنتز نانوپارتیکلهاي نقره
۸۲	۱-۳-۳ مقايسه تاثير G_1 , G_2 و G_3 در سنتز نانوپارتیکلهاي نقره
۸۴	۲-۳-۳ مقايسه تاثير $G_1\text{-OH}$, $G_2\text{-OH}$ و $G_3\text{-OH}$ در سنتز نانوپارتیکلهاي نقره
۸۶	۴-۳ تاثير نسلهاي مختلف دندريمرهاي سيتريک اسيد در سنتز نانوپارتیکلهاي طلا
۸۶	۱-۴-۳ مقايسه تاثير G_1 , G_2 و G_3 در سنتز نانوپارتیکلهاي طلا
۸۸	۲-۴-۳ مقايسه تاثير $G_1\text{-OH}$, $G_2\text{-OH}$ و $G_3\text{-OH}$ در سنتز نانوپارتیکلهاي طلا
۹۰	۳-۵ تاثير گروههاي انتهائي دندريمر در سنتز نانوپارتیکلهاي نقره و طلا
۹۰	۱-۵-۳ مقايسه تاثير گروههاي انتهائي دندريمر در سنتز AgNPs
۹۲	۲-۵-۳ مقايسه تاثير گروههاي انتهائي دندريمر در سنتز AuNPs
۹۴	۳-۶ تاثير PH در فرایند سنتز نانوپارتیکلهاي نقره و طلا
۹۶	۳-۷ تأثیر غلاظت در فرایند سنتز نانوپارتیکلهاي نقره و طلا
۹۹	۳-۸ نتیجه گیری
۱۰۰	۳-۹ پيشنهادات
۱۰۱	۳-۱۰ منابع مورد استفاده

فهرست شکلها

- ۲ (شکل ۱-۱) (a) شمای کلی یک دندریمر، (b) طبقه بندی پلیمرها
- ۳ (شکل ۱-۲) اجزای ساختاری دندریمر
- ۴ (شکل ۱-۳) دو روش عمومی سنتز دندریمرها
- ۸ (شکل ۱-۴) چهار طبقه عمومی متالودندریمرها
- ۱۰ (شکل ۱-۵) سنتز DEMNs
- ۱۱ (شکل ۱-۶) کاتالیروز اندازه گرین
- ۱۲ (شکل ۱-۷) نمودار درصد پیشرفت واکنش هیدروژناسیون
- ۱۳ (شکل ۱-۸) خط کشهای مولکولی
- ۱۴ (شکل ۱-۹) طیف PAMAM(G_n)-SH/Au, UV-vis
- ۱۵ (شکل ۱-۱۰) طیف PAMAM(G_n)-NH₂/Au, UV-vis
- ۱۶ (شکل ۱-۱۱) تصاویر HRTEM نانوپارتیکلهای طلا
- ۱۷ (شکل ۱-۱۲) کاربرد نانوپارتیکلهای دندریتیکی در Gene Delivery
- ۱۸ (شکل ۱-۱۳) طیف PPI (G_3) /Au, UV-vis
- ۱۹ (شکل ۱-۱۴) تصاویر TEM gold NPs
- ۱۹ (شکل ۱-۱۵) طیف XPS نانوپارتیکلهای طلا
- ۲۱ (شکل ۱-۱۶) طیف UV-VIS مربوط به برهمکش SB
- ۲۱ (شکل ۱-۱۷) طیف FT-IR SBs
- ۲۳ (شکل ۱-۱۸) الکترودپوزاسیون Pt روی PAMAM
- ۲۵ (شکل ۱-۱۹) شمای کلی سنتز نانوپارتیکلهای دوفلزی محبوس در دندریمر
- ۲۶ (شکل ۱-۲۰) مقایسه فعالیت کاتالیست D(Pd/Rh) و Pd/Rh
- ۲۷ (شکل ۱-۲۱) راکتور غشایی
- ۴۷ (شکل ۱-۳)(a) طیف ¹H NMR ترکیب G₁ در DMSO
- ۴۷ (شکل ۱-۳)(b) طیف ¹H NMR ترکیب G₂ در D₂O
- ۴۸ (شکل ۱-۳)(c) طیف ¹H NMR ترکیب G₃ در DMSO
- ۴۸ (شکل ۲-۳)(a) طیف ¹H NMR ترکیب G₁-OH در DMSO
- ۴۹ (شکل ۲-۳)(b) طیف ¹H NMR ترکیب G₂-OH در DMSO

- ۴۹ (شکل ۲-۳) (c) طیف ^1H NMR ترکیب $\text{G}_3\text{-OH}$ در DMSO
- ۵۰ (شکل ۳-۳) طیف FT-IR
- ۵۰ (شکل ۴-۳) طیف FT-IR G_2
- ۵۱ (شکل ۵-۳) طیف FT-IR G_3
- ۵۱ (شکل ۶-۳) طیف FT-IR $\text{G}_1\text{-OH}$
- ۵۲ (شکل ۷-۳) طیف FT-IR $\text{G}_2\text{-OH}$
- ۵۲ (شکل ۸-۳) طیف FT-IR $\text{G}_3\text{-OH}$
- ۵۳ (شکل ۹-۳) طیف UV-vis مربوط به نانو پارتیکلهای نقره در حضور G_1
- ۵۶ (شکل ۱۰-۳) طیف UV-vis مربوط به نانو پارتیکلهای نقره در حضور G_2
- ۵۷ (شکل ۱۱-۳) طیف UV-vis مربوط به نانو پارتیکلهای نقره در حضور G_3
- ۵۹ (شکل ۱۲-۳) طیف UV-vis مربوط به نانو پارتیکلهای نقره در حضور $\text{G}_1\text{-OH}$
- ۶۰ (شکل ۱۳-۳) تصویر TEM نانوپارتیکلهای نقره در حضور $\text{G}_1\text{-OH}$
- ۶۱ (شکل ۱۴-۳) طیف EDX نانوپارتیکلهای نقره در حضور $\text{G}_1\text{-OH}$
- ۶۱ (شکل ۱۵-۳) الگوی ED نانوپارتیکلهای نقره در حضور $\text{G}_1\text{-OH}$
- ۶۳ (شکل ۱۶-۳) طیف UV-vis مربوط به نانو پارتیکلهای نقره در حضور $\text{G}_2\text{-OH}$
- ۶۵ (شکل ۱۷-۳) طیف UV-vis مربوط به نانو پارتیکلهای نقره در حضور $\text{G}_3\text{-OH}$
- ۶۷ (شکل ۱۸-۳) طیف UV-vis مربوط به نانو پارتیکلهای طلا در حضور G_1
- ۶۹ (شکل ۱۹-۳) طیف UV-vis مربوط به نانو پارتیکلهای طلا در حضور G_2
- ۷۱ (شکل ۲۰-۳) طیف UV-vis مربوط به نانو پارتیکلهای طلا در حضور G_3
- ۷۳ (شکل ۲۱-۳) طیف UV-vis مربوط به نانو پارتیکلهای طلا در حضور $\text{G}_1\text{-OH}$
- ۷۵ (شکل ۲۲-۳) تصویر TEM نانوپارتیکلهای طلا در حضور $\text{G}_1\text{-OH}$
- ۷۶ (شکل ۲۳-۳) طیف EDX نانوپارتیکلهای طلا در حضور $\text{G}_1\text{-OH}$
- ۷۶ (شکل ۲۴-۳) الگوی ED نانوپارتیکلهای طلا در حضور $\text{G}_1\text{-OH}$
- ۷۷ (شکل ۲۵-۳) طیف UV-vis مربوط به نانو پارتیکلهای طلا در حضور $\text{G}_2\text{-OH}$
- ۸۰ (شکل ۲۶-۳) طیف UV-vis مربوط به نانو پارتیکلهای طلا در حضور $\text{G}_3\text{-OH}$
- ۸۲ (شکل ۲۷-۳) طیف UV-vis (C) $\text{G}_3\text{-AgNPs}$, (B) $\text{G}_2\text{-AgNPs}$, (A) $\text{G}_1\text{-AgNPs}$
- ۸۴ (شکل ۲۸-۳) طیف UV-vis (C) $\text{G}_3\text{-OH / AgNPs}$, (B) $\text{G}_2\text{-OH / AgNPs}$, (A) $\text{G}_1\text{-OH / AgNPs}$

- ۸۶ (C) G₃-AuNPs و (B) G₂-AuNPs و (A) G₁-AuNPs :UV-vis (شکل ۲۹-۳)
- ۸۸ (C)G₃-OH/AuNPs ،(B)G₂-OH/AuNPs ،(A)G₁-OH/AuNPs :UV-vis (شکل ۳۰-۳)
- ۹۰ (B) G₁-OH /AgNPs ، (A) G₂-AgNPs :UV-vis (شکل ۳۱-۳)
- ۹۱ (B) G₂-OH /AgNPs ، (A) G₃-AgNPs :UV-vis (شکل ۳۲-۳)
- ۹۲ (B) G₁-OH /AuNPs ، (A) G₂-AuNPs :UV-vis (شکل ۳۳-۳)
- ۹۳ (B) G₂-OH /AuNPs ، (A) G₃-AuNPs :UV-vis (شکل ۳۴-۳)
- ۹۴ (شکل ۳۵-۳) طیف UV-vis: تاثیر pH در فرایند سنتز نانوپارتیکلهای نقره (G₂-AgNPs)
- ۹۴ (شکل ۳۶-۳) طیف UV-vis: تاثیر pH در فرایند سنتز نانوپارتیکلهای نقره (G₃-AgNPs)
- ۹۵ (شکل ۳۷-۳) طیف UV-vis: تاثیر pH در فرایند سنتز نانوپارتیکلهای طلا
- ۹۶ (شکل ۳۸-۳) طیف UV-vis: تاثیر غلظت در فرایند سنتز G₁-AgNPs
- ۹۶ (شکل ۳۹-۳) طیف UV-vis: تاثیر غلظت در فرایند سنتز G₂-AgNPs
- ۹۷ (شکل ۴۰-۴) طیف UV-vis: تاثیر غلظت در فرایند سنتز G₂-OH/AgNPs
- ۹۷ (شکل ۴۱-۴) طیف UV-vis: تاثیر غلظت در فرایند سنتز G₂-AuNPs
- ۹۷ (شکل ۴۲-۴) طیف UV-vis: تاثیر غلظت در فرایند سنتز G₁-OH/AuNPs
- ۹۷ (شکل ۴۳-۴) طیف UV-vis: تاثیر غلظت در فرایند سنتز G₂-OH/AuNPs

اختصارات

NPs: Nanoparticles

DEMNs: Dendrimer Encapsulated Metal Nanoparticles

PAMAM: Poly Amido Amine

PPI: Poly Propylene Imine

TEM: Transmission Electron Microscopy

HRTEM: High Resolution Transmission Electron Microscopy

SB: Sugar Balls

نام خانوادگی دانشجو: محمدپور فرد

نام: احمد

عنوان پایاننامه: سنتز نانو پارتیکلهاي فلزات واسطه بر پايه دندريمرهاي طبيعي

استاد راهنمای: دکتر حسن نمازی

استادان مشاور: دکتر علی اکبر انتظامی، دکتر کاظم دیندار صفا

دانشگاه: تبریز

گرایش: شیمی

رشته: شیمی آلی

تعداد صفحه: ۱۰۴

تاریخ فارغ التحصیلی: ۸۶/۱۲/۱۱

دانشکده: شیمی

کلید واژه ها: نانوپارتیکلهاي نقره ، نانوپارتیکلهاي طلا، دندريمر، احياء شيمياي

چكيده:

در اين کار تحقیقی نانوپارتیکلهاي نقره و طلا را در حضور دندريمرهاي سیتریک اسید با گروههای انتهائی کربوکسیلیک و هیدروکسیلیک سنتز کرده ايم. روند کار به اين صورت است که ابتدا دندريمرهاي نسل ۲، ۱ و ۳ سیتریک اسید را سنتز کرده و سپس با اتصال ترکيب تریس(هیدروکسی متیل) آمینومتان(tris base) گروههای انتهائی دندريمر را از کربوکسیلیک به هیدروکسیلیک تبدیل می کنیم. ساختار دندريمرهاي حاصل از روی طيفهای $^1\text{H NMR}$ و FT-IR بررسی گردید.

در ادامه نانوپارتیکلهاي نقره و طلا را در غلظت، نسبت و pH های مختلف در حضور دندريمرهاي مذکور به روش احياء شيمياي سنتز می کنیم. تمامی مراحل سنتز نانوپارتیکلها، بررسی ها و مقایسات از روی طيف UV-vis دنبال شده اند و نیز تصاویر میکروسکوب الکترونی(TEM) برای برخی از نمونه ها تهیه شده است. از میان نسلهای مختلف دندريمر $\text{G}_n\text{-COOH}$ ، G_2 مناسبترین نسل برای سنتز نانوپارتیکلهاي طلای می باشد. در دندريمرهاي سیتریک اسید، گروههای انتهائی هیدروکسیل جهت تهیه نانوپارتیکلهاي نقره و طلا مناسبتر از گروههای کربوکسیل می باشند. در pH بازی نانوپارتیکلهاي حاصل شده اندازه ريزتری دارند و پيكهای متقارن و تيزتری پدید می آورند. از نظر پايداري نيز، در pH بازی پايداري بهتری را مشاهده نموديم.

فصل اول

بدرسی منابع

۱-۱ مقدمه

۱-۱-۱ دندریمر چیست؟

دندریمراها سوپرا مولکولهایی سه بعدی و با ساختار معین می باشد. کلمه دندریمر از ترکیب دندری(به معنای درخت مانند) و مرووز(به معنای بخش) حاصل شده است و ماکرو مولکولهایی درخت مانند می باشند[۱].

۱-۱-۲ تاریخچه و پیشینه

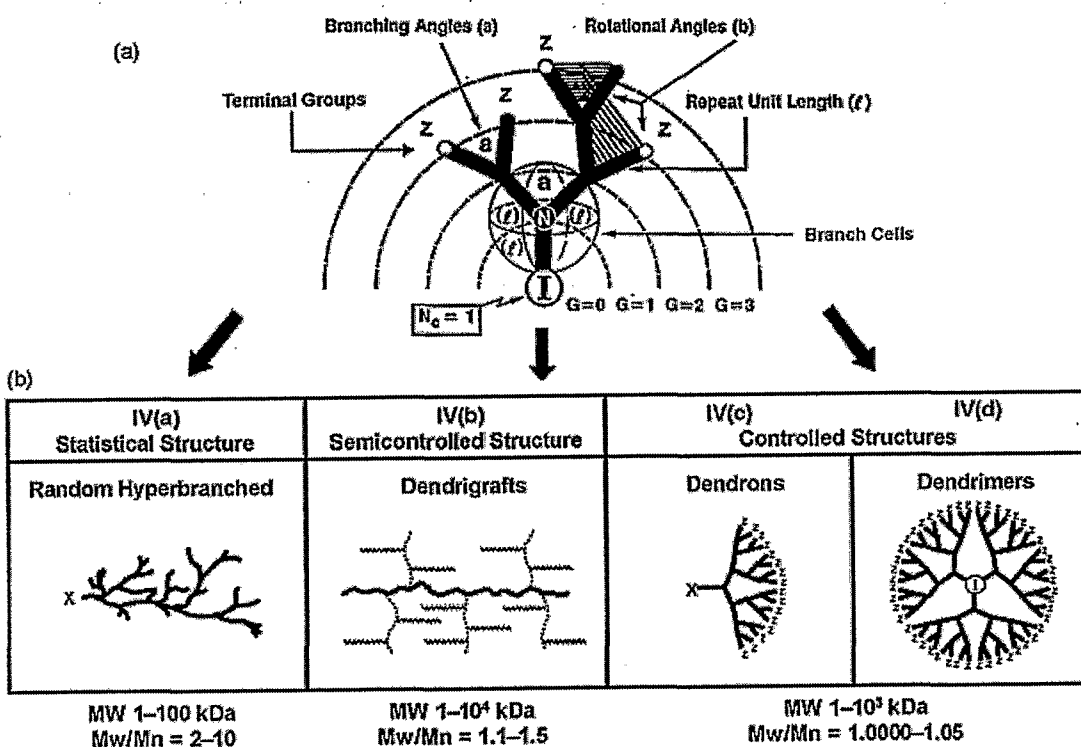
سترهای مولکلولهای دندریمر اولین بار توسط دونالد تومالیا^۱ مطرح شد ولی تا اواخر دهه ۱۹۷۰ ستتر این مولکولها موفقیت آمیز نبود[۱]. در سالهای ۱۹۸۴ _ ۱۹۸۵ اولین دندریمراها توسط گروه تومالیا گزارش شدند . و بعد از آن محققین دیگر نیز به ستتر این مولکولها نائل شدند[۳].

اولین مقاله در مورد دندریمراها، مربوط به ستتر دندریمر پلی آمیدوآمین^۲ (PAMAM) در سال ۱۹۸۵ بود که هم اینکه این دندریمر و نیز دندریمر پلی پروپیلن ایمید^۳ (PPI) بصورت تجاری در دسترس می باشند از این رو اغلب تحقیقات صورت گرفته، روی این دندریمراها (PAMAM,PPI) صورت گرفته است[۴].

^۱- Tomalia, D.
^۲- PAMAM: Poly Amido Amine
^۳- PPI: Poly Propylene Imine

۲-۱ ساختار و طبقه بندی دندریمرها

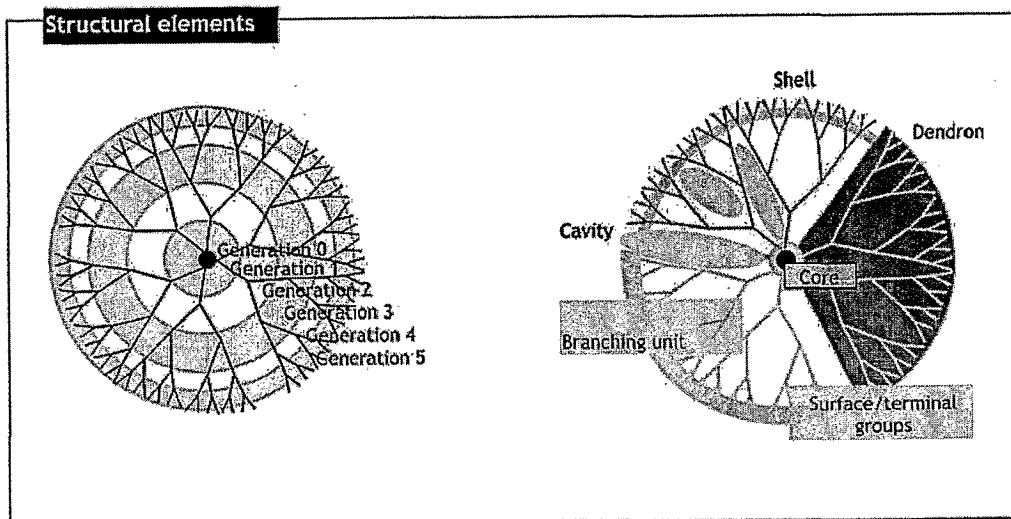
پلیمرهای دندریتیکی بعنوان نسل چهارم پلیمرها شناخته شده اند که خودشان نیز به سه دسته زیر تقسیم می شوند [۳] و [۷]: (a) پلیمرهای پرشاخه تصادفی، (b) پلیمرهای گرافت دندریمی، (c) دندریمرها (شکل ۱-۱).



(شکل ۱-۱)-(a) شماتیکی یک دندریمر، (b) طبقه بندی پلیمرها

دندریمرهای PAMAM اولین خانواده از دندریمرها را تشکیل می دهند که در مقیاس تجاری تولید شد و به بهترین وجه شناخته شده اند و تاکنون بهترین شناخت نسبت به دندریمرها مربوط به آنها می باشد.

بخش‌های تشکیل دهنده یک دندانهای (شکل ۱-۲) عبارتند از: هسته، واحدهای شاخه‌ای، حفرات داخلی و گروههای انتهایی [۸ و ۹].



(شکل ۱-۲) اجزای ساختاری دندانهای (Dendrimers)

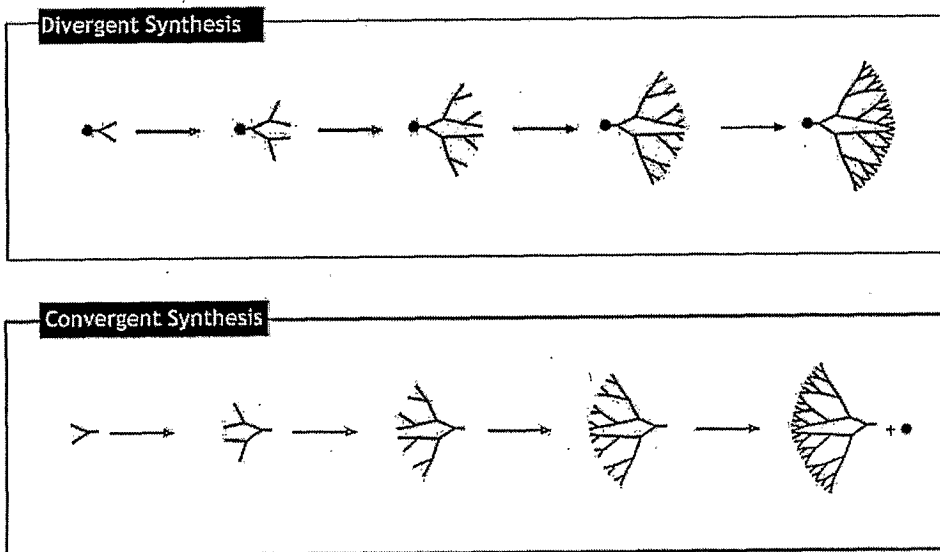
۱-۲-۱ روش‌های سنتز دندانهای (Dendrimers)

دو روش عمومی برای سنتز دندانهای (Dendrimers) وجود دارد (شکل ۱-۳)؛

(۱) سنتز به روش واگرا (Convergent)، (۲) سنتز به روش همگرا (Divergent).

سنتز به روش واگرا: در این روش، رشد دندانهای از مکان هسته شروع شده و بسوی بیرون توسط تکرار مراحل جفت شدن و فعال سازی ادامه می‌یابد. واکنش گروههای عاملی اطراف هسته با گروه فعال مناسب یک مونومر باعث افزایش بیشتر تعداد گروههای عاملی انتهایی و در نتیجه محلهای مناسب جهت واکنشهای جفت شدن می‌گردد.

ستز به روش همگرا: در این روش، رشد از محلی که سرانجام قسمت بیرونی دندریمر خواهد بود شروع می شود و با جفت شدن گروههای عاملی به هم پیش می رود و در پایان نیز دراثر جفت شدن دندرونهای حاصل به هسته مرکزی دندریمر حاصل می شود.



(شکل ۱-۳) دو روش عمومی ستز دندریمرها: روش واگرا(Divergent)، روش همگرا(Convergent).

۱-۳ نانوپارتيکلها

نانوپارتيکلها ذراتی در محدوده $1-100\text{ nm}$ می باشند. ستز نانوپارتيکلها اولین بار در اواسط قرن نوزدهم توسط مایکل فارادی گزارش شده اند [۱۰]، که مربوط به ستز نانوپارتيکلهای طلا می باشد، البته در آن دوران نانوپارتيکلها هنوز شناخته نشده بودند و فارادی از آن با عنوان محلولهای کلوریدی طلا یاد کرده است.

طبيعت نانوپارتيکلها به چند عامل بستگی دارد که عبارتند از:

۱) شكل و اندازه نانوپارتيکل .

(۲) خواص سطحی نانوپارتیکل.

(۳) برهمکنش پارتیکل - پارتیکل.

(۴) برهمکنش پارتیکل - حلal.

۱-۳-۱ اهمیت نانوپارتیکلها

تولید مواد با خواص فیزیکی و شیمیایی ویژه و قابل پیش بینی محور توسعه تکنولوژیهای نوین می باشد. توانایی دست یافتن به چنین خواصی در تولید پلاستیک ها ، مواد منفجره ، داروها، سورفکتانت ها، فلزات و آلیاژهای فلزی و ... بسیار مهم می باشد . بنابراین در دهه های گذشته روشهای جدیدی بر اساس ساخت موادی به حالت نانوپارتیکل توسعه یافته است دستکاری کنترل شده مواد در فضا، زمان و ترکیب شیمیایی آنها نیاز به تکنیک های جدید و به روز کردن تکنیک های قدیمی دارد.

مواد در محدوده نانو، خواص و خصلت های ویژه ای از خود نشان می دهند که باعث می گردد که تولید مواد به حالت نانوپارتیکل مورد توجه بسیاری از محققین قرار گیرد[۱۱]. اندازه ریز ، ساختار الکترونیکی و سایر خواص منحصر به فرد نانوپارتیکلها از جمله نسبت بالای سطح به حجم در مورد آنها دروازه های جدیدی پیش روی نانوتکنولوژی باز کرده است.

کاتالیست هایی با فعالیت بالا، مواد برای کاربردهای نوری ویژه مثل سیستمهای الکتروکرومیک ، ابررسانها ، افزودنیهای ضدسایش، جذب سطحی افزایش یافته ، حاملهای دارویی و ابزار تشخیصی ویژه از جمله نتایج استفاده از نانوپارتیکلها می باشد. نانوپارتیکلها همچنین در زمینه هایی مثل: nanosensors و پیلهایی با ذخیره بالا و ... کاربرد دارد.

۱-۳-۲ پایداری نانوپارتیکلها

پایداری نانو پارتیکلها به دو طریق عمدۀ صورت می‌گیرد [۱۲]:

۱) پایداری الکتروستاتیکی

۲) پایداری فضایی

۱-۲-۳-۱ پایداری الکتروستاتیکی

پایداری الکتروستاتیکی از دافعه الکتریکی حاصل از یونهای جذب شده روی سطح نانوپارتیکل می‌باشد، که از نزدیک شدن نانوپارتیکلها به همدیگر و در نتیجه تجمع و ترسیب آنها جلوگیری می‌نماید.

۱-۲-۳-۲ پایداری فضائی

پایداری فضایی در اثر ممانعت فضائی حاصل از مولکولهای پایدارساز می‌باشد که سطح نانوپارتیکلها را پوشش داده اند و از نزدیک شدن نانوپارتیکلها به همدیگر و در نتیجه تجمع و ترسیب آنها جلوگیری می‌نماید.

۱-۳-۳-۱ روش‌های سنتز نانو پارتیکلها [۱۱-۱۲]

از گستره وسیعی از پدیده‌های فیزیکی و شیمیایی جهت ایجاد قراردادهای موثر در سنتز نانومنریالها و گرایشات تکنولوژیک و بیولوژیک آن استفاده شده است. این قراردادها می‌توانند بر طبق روش‌های سنتزی طبقه بنده شوند، از این رو روش‌های سنتز نانوپارتیکلها را نیز به دو دسته تقسیم کرده‌اند [۱۴]: